

# 20例原发性乳腺恶性淋巴瘤的X线、CT表现分析

Mammography and CT Features of 20 Cases with Primary Breast Lymphoma  
WU Dan-dan, WEI Ying, SHAO Guo-liang

吴丹丹<sup>1</sup>,卫英<sup>1</sup>,邵国良<sup>2</sup>

(1. 杭州市余杭区第一人民医院,浙江杭州311100;  
2. 浙江省肿瘤医院,浙江杭州310022)

**摘要:**[目的]探讨原发性乳腺恶性淋巴瘤X线、CT表现,以提高对该病的影像诊断水平。[方法]回顾性分析20例经病理证实的原发性乳腺恶性淋巴瘤的X线、CT表现(12例行X线检查,8例行CT检查)。对肿瘤的部位、大小、形态、边缘、密度及强化形式进行分析。[结果]20例患者均为单侧,其中单发17例,双发3例,共23个病灶;肿瘤最大径1.7~10.2cm,18个病灶呈边缘光整、类圆形或椭圆形肿块;5个病灶呈边缘不光整、不规则分叶状肿块,其中2个病灶侵犯乳腺皮肤,1个侵犯皮下脂肪间隙。密度均匀19个,不均匀4个;与正常乳腺腺体相比,X线检查病灶呈稍高密度9个,等密度4个;与正常肌肉相比,CT平扫病灶呈等密度8个,稍低密度2个,所有病灶均未见钙化及毛刺;增强后病灶轻度强化6个,中度强化4个。6例伴腋窝淋巴结肿大,肿大的淋巴结密度均匀,增强扫描呈轻度强化。[结论]边缘光整、密度均匀、轻中度强化,无明显钙化及毛刺的乳腺实质性肿块及伴密度均匀、轻度强化的腋窝肿大淋巴结为原发性乳腺恶性淋巴瘤的影像学特点,X线、CT检查可以准确显示肿瘤累及的范围,有利于临床选取恰当的治疗方案。

**主题词:**乳腺肿瘤;淋巴瘤;乳腺X线摄影术;体层摄影术;X线计算机  
中图分类号:R737.9 文献标识码:B  
文章编号:1671-170X(2015)11-0937-04  
doi:10.11735/j.issn.1671-170X.2015.11.B016

原发性乳腺恶性淋巴瘤(primary breast lymphoma,PBL)是一种少见的结外原发性淋巴瘤,占所有乳腺恶性肿瘤的0.04%~1.0%,全身淋巴结外淋巴瘤的1.7%~3.0%<sup>[1]</sup>,常常被误诊为乳腺癌或其他乳腺肿瘤。PBL作为一种特殊类型的乳腺恶性肿瘤,其治疗方法有别于其他乳腺肿瘤,一般采用手术、放疗及化疗等相结合的综合治疗,因此及时正确的诊断以及对肿瘤累及范围的评估就成为治疗的关键。国内外对于PBL的报道多集中在临床和病理方面,有关该肿瘤影像学方面的系统报道较少,提高对该肿瘤的认识和影像诊断水平,有利于临床选择正确的治疗方案。笔者回顾性分析20例PBL患者资料,并复习相关文献,以提高对本病的诊断水平。

## 1 资料与方法

### 1.1 临床资料

收集浙江省杭州市余杭区第一人民医院和浙江省肿瘤医院2004年1~12月资料完整,并经常规病理及免疫组化确

**基金项目:**浙江省卫生高层次人才培养基金(浙财社2013-189)

**通讯作者:**邵国良,副院长,主任,主任医师,博士;浙江省肿瘤医院放射科,浙江省杭州市拱墅区半山桥广济路38号(310022);E-mail:shaoguoliang666@hotmail.com

收稿日期:2015-08-06;修回日期:2015-09-16

诊的PBL 20例,患者均为女性,年龄30~69岁,中位年龄48岁。病程2d~8个月不等,中位病程1.5个月。右乳13例,左乳7例,20例患者均以无痛性乳腺肿物就诊,肿物最大径1.7~10.2cm,其中6例可触及腋窝淋巴结肿大。20例患者均未有乳头溢液、乳头内陷、皮肤收缩等症状、体征。

**原发性乳腺恶性淋巴瘤的诊断标准:**Wiseman等<sup>[2]</sup>于1972年首次提出了PBL的诊断标准,该标准经过修改,被后来的学者<sup>[3]</sup>所公认。即①既往无淋巴瘤病史。②乳腺是临床首发部位。③除同侧腋窝淋巴结受累外,无其他部位淋巴瘤。腋窝淋巴病变应在乳腺病变之后或同时出现。④病变内有淋巴组织及乳腺组织并存,淋巴细胞可侵及乳腺小叶及导管,但无乳腺上皮细胞恶变(癌)的证据,除此以外均为继发淋巴瘤。

### 1.2 影像检查方法

#### 1.2.1 X线检查设备及参数

12例行X线检查,采用德国Siemens Mammomat 1000数字乳腺机,患者取立位,小焦点0.1 mm,全自动曝光条件。根据乳房的大小及致密度自动给予投照条件,常规摄取乳腺轴位及侧斜位片,其中2例加摄肿块局部加压点片。

#### 1.2.2 CT检查设备及参数

8例行CT检查,采用美国GE Bright Speed 16层CT机完成扫描,8例均行平扫加增强扫描,扫描范围从肺尖至肺底水平,经前臂肘静脉团注碘海醇80~100ml(300mg/ml,1.5ml/kg),注射速率2.5ml/s,注射开始后45s开始扫描,扫描螺距为1.0,层厚5 mm,层距5 mm。

### 1.3 图像分析方法

所有患者的图像均由本科室2名高年资放射科医师共同阅片,观察、分析病灶的部位、大小、形态、边缘、密度及强化特征,周围组织的侵犯和腋窝淋巴结肿大等征象。诊断不一致时相互讨论,以得出的一致性结果为准。CT增强扫描病灶强化程度分级标准:轻度:0~20Hu;中度:21~40Hu;明显:41Hu以上。

## 2 结果

### 2.1 影像学表现

**肿瘤部位、大小和形态:**20例肿瘤均位于单侧乳腺,其中右乳13例,左乳7例。单发17例,双发3例,共23个病灶;

肿瘤最大径 1.7~10.2 cm, 平均(4.7±0.4)cm,< 5cm 的 16 个病灶中, 5 个呈圆形, 11 个呈椭圆形(Figure 1);>5cm 的 7 个病灶中, 2 个呈椭圆形, 5 个呈不规则形。

X 线表现: 12 例 X 线检查 11 例为单发, 1 例为双发, 共 13 个病灶, 呈稍高密度 9 个, 等密度 4 个; 密度均匀 10 个, 不均匀 3 个; 病灶边缘光整 11 个(Figure 2), 边缘不光整、分叶状 2 个。所有病灶内均未见明显毛刺或簇状钙化及皮肤增厚、乳头凹陷征象。腋窝未见明显肿大淋巴结。

CT 表现: 8 例 CT 检查, 6 例为单发, 2 例为双发, 共 10 个

病灶; 8 例均行平扫加增强扫描。平扫病灶呈等密度 8 个, 稍低密度 2 个; 密度均匀 9 个(Figure 3), 不均匀 1 个, 所有病灶均未见明显钙化及毛刺。边缘光整者 7 个; 病灶边缘不光整 3 个, 其中 2 个病灶侵犯局部乳腺皮肤, 1 个病灶侵犯乳腺皮下脂肪间隙; 增强扫描病灶呈轻度强化 6 个, 中度强化 4 个(Figure 4)。6 例伴有腋窝淋巴结肿大, 5 例为同侧, 1 例为双侧, 共计 11 枚肿大淋巴结, 最大径约 1.1~2.4cm, 所有的淋巴结密度均匀(Figure 5), 均未见钙化及坏死、囊变, 增强扫描 9 枚淋巴结呈轻度强化(Figure 6), 2 枚淋巴结呈中度强化。

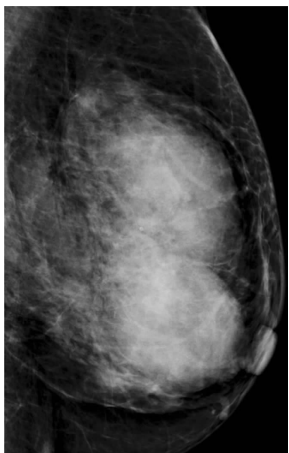


Figure 1

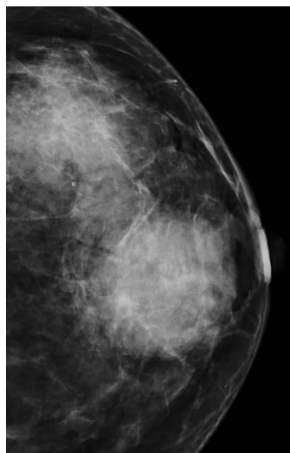


Figure 2

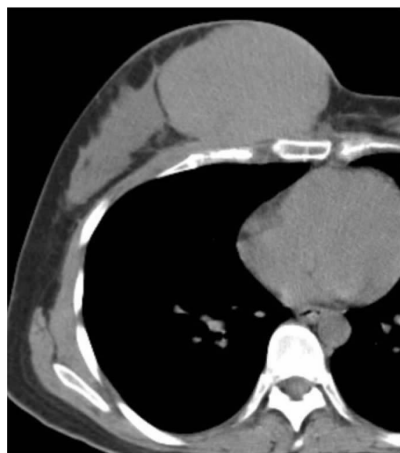


Figure 3



Figure 4

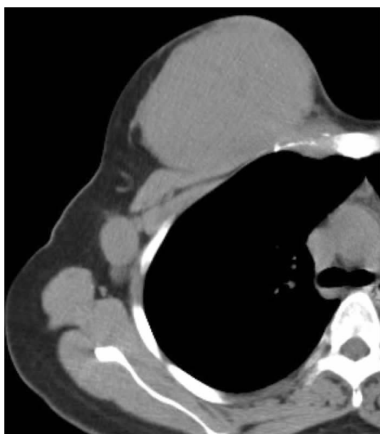


Figure 5



Figure 6

Figure 1 Left mediolateral oblique view mammogram showed two oval round and slightly high-density masses located in the upper outer quadrant and the central area of the left breast respectively

Figure 2 Left craniocaudal view mammogram showed two oval round and slightly high-density masses with well-defined margin, and neither calcifications nor spiculations were seen in the masses

Figure 3 Axial CT plain scanning showed a oval round isodensity soft tissue mass with well-defined margin and homogeneous density in the lower inner quadrant of the right breast

Figure 4 Postcontrast axial CT scanning showed a solid soft tissue mass with moderate and homogeneous enhancement

Figure 5 Axial CT plain scanning showed multiple lymph nodes enlargement in the right axillary fossa, which displayed homogeneous density without calcification

Figure 6 Postcontrast axial CT scanning showed axillary lymph nodes with mild enhancement

## 2.2 影像诊断误诊情况

20例PBL病理均为非霍奇金淋巴瘤，弥漫性大B细胞型(13例经手术证实，7例经粗针穿刺活检证实，所有病例均行免疫组化确诊)。X线及CT诊断PBL 12例，诊断准确率为60.0%。4例误诊为乳腺癌，其中2例因病灶中度强化且伴腋窝淋巴结肿大而误诊，2例因病灶边缘不光整、呈分叶状而误诊；3例因病灶边缘光整，轻度强化而误诊为腺瘤；1例因乳腺肿块伴皮肤增厚、皮下脂肪间隙模糊而误诊为乳腺炎症。

## 3 讨论

### 3.1 PBL的影像学特点

既往文献<sup>[4,5]</sup>认为PBL的影像学表现缺乏特异性，术前很难与乳腺其他良、恶性病变区别，最后诊断需依靠病理学确诊。但笔者回顾性分析了20例PBL的X线及CT表现并结合相关文献复习，认为以下征象可供诊断与鉴别诊断PBL时参考。

#### 3.1.1 肿瘤形态

PBL单侧多见，少数可以双侧发生。肿瘤最大径约1.0~5.0cm<sup>[4]</sup>。肿瘤的形态变化较多，可呈类圆形、椭圆形和不规则形<sup>[5]</sup>。肿瘤较小(<5 cm)时病灶形态呈类圆形或椭圆形；肿瘤较大(>5cm)时，病灶形态呈椭圆形或不规则形，而且当病灶的形态呈椭圆形或不规则形时，病灶的长轴与乳腺腺体的长轴一致，沿乳腺腺体的形态铸形生长，较有特征性。这反映了病理上原发性乳腺恶性淋巴瘤质地柔软、细腻，弥漫浸润乳腺腺体时多保持乳腺腺体外形的特点。本组病例肿瘤最大径<5cm的16个病灶中，5个呈类圆形，11个呈椭圆形；>5cm的7个病灶中，2个呈椭圆形，5个呈不规则形，共有18个病灶沿乳腺腺体的形态铸形生长，表明肿瘤铸形生长是PBL具有相对特征性的征象，对于影像诊断PBL有一定的提示意义。

#### 3.1.2 肿瘤边缘

肿瘤常呈膨胀性生长，周围浸润少，病灶边缘多较光整<sup>[6]</sup>，未见毛刺、漏斗征及乳头凹陷征等乳腺癌典型征象，少数较大肿瘤边缘不光整，弥漫浸润乳腺时可侵犯乳腺皮肤及皮下脂肪间隙<sup>[7]</sup>。本组20例PBL共23个病灶中，<5cm的16个病灶边缘均较光整，病灶与周围腺体组织分界清晰，均未见毛刺、漏斗征及乳头凹陷征；>5cm的7个病灶中5个病灶边缘不光整，呈不规则分叶状，其中2个病灶周围乳腺皮肤增厚，1例皮下脂肪间隙模糊，与文献报道相符。

#### 3.1.3 肿瘤密度和强化

X检查病灶呈略高密度(与正常乳腺组织相比)，CT平扫病灶呈等密度或略低密度(与背部肌肉相比)，病灶密度均匀或较均匀，病灶内钙化及囊变、坏死少见<sup>[5,8]</sup>。增强扫描多数病灶呈轻中度强化，呈相对乏血供的特点。本组20例PBL共23个病灶中，密度均匀19个，不均匀4个，所有病灶均未见明显钙化及坏死，8例CT检查增强扫描病灶呈轻度强化6个，中度强化4个，表明病灶密度均匀、无明显钙化，增强扫描呈轻中度强化是PBL的另外一个特征，与文献报道<sup>[9]</sup>相符。

#### 3.1.4 腋窝淋巴结肿大情况

PBL容易同时累及腋窝淋巴结，文献报道<sup>[10]</sup>PBL约有30%~50%患者伴有腋窝淋巴结肿大。本组病例中有6例(6/20,30%)PBL伴腋窝淋巴结肿大，稍低于文献报道。另外PBL腋窝肿大淋巴结密度常均匀，未见明显钙化及囊变、坏死，增强扫描呈轻中度强化，与其他部位淋巴瘤累及的淋巴结肿大影像表现相似，具有相对特征性<sup>[11]</sup>，而与乳腺癌伴淋巴结转移时，肿大的淋巴结增强扫描呈明显均匀强化或环形强化有明显不同。

### 3.2 鉴别诊断

PBL的鉴别诊断主要包括乳腺癌、乳腺肉瘤、腺瘤、浆细胞性乳腺炎等，由于这些肿瘤生物学行为、治疗及预后均不相同，因而术前正确诊断具有重要临床意义。

#### 3.2.1 乳腺癌

X线表现为结节状、分叶状或不规则形的乳腺肿块，边缘见毛刺，周围腺体结构扭曲，其内常见细小簇状钙化。CT表现为肿瘤呈浸润性生长，常见漏斗征、乳头凹陷征及局部皮肤增厚、回缩等乳腺癌典型征象，增强扫描病灶明显强化，中心坏死。常伴有腋窝淋巴结转移，肿大的淋巴结呈明显均匀强化或环形强化<sup>[12]</sup>。而PBL常表现为边缘光整、密度均匀、铸形生长、轻中度强化的肿块，病灶内钙化、坏死少见。另外PBL伴有的腋窝肿大淋巴结常密度均匀、轻中度强化，与乳腺癌腋窝淋巴结转移呈明显强化有所不同。

#### 3.2.2 乳腺肉瘤

主要为血管肉瘤、纤维肉瘤、低度恶性肌纤维母细胞肉瘤、低度恶性腺肌瘤等。X线表现为分叶状、类圆形、边缘光滑的较大孤立肿块，或是多个结节融合生长。CT表现上病灶大部分形态不规则，密度不均匀，肿瘤血供丰富，强化较明显<sup>[13]</sup>，腋窝肿大淋巴结少见，而PBL多表现为边缘光整、密度均匀或较均匀的肿块，增强扫描呈轻—中度强化，与前者有所不同。

#### 3.2.3 腺纤维瘤

腺纤维瘤是乳腺最常见的乳腺良性肿瘤，青壮年女性多见，肿瘤常单发，少数可多发。肿瘤有完整的包膜，X线及CT表现为边缘光整、锐利的圆形、类圆形的软组织密度结节或肿块，直径多为1~3cm，密度均匀，增强扫描呈渐进性强化，常见钙化，粗大的爆米花样钙化是腺纤维瘤的典型表现，而PBL病灶内无明显钙化，密度均匀一致，两者有所不同。另外，腺纤维瘤常常不伴有腋窝淋巴结肿大以及周围组织的侵犯。

#### 3.2.4 浆细胞性乳腺炎

急性或亚急性期X线表现表现为乳晕下密度增高影，可伴乳头回缩，类似乳腺癌，慢性期可有扩张导管周围纤维组织增生引起的片状软组织影，典型者可有管状、环形等各种形式的较粗钙化。CT表现为乳腺内片状密度增高影，边界不清，病灶比较弥漫，没有明确可见的肿块影，增强扫描病灶常呈边缘环形强化及蜂窝样强化。一般不伴有腋窝淋巴结肿大。

综上所述,PBL影像上多数表现为边缘光整、密度均匀、轻中度强化、无明显钙化及毛刺的乳腺实质性肿块,以及伴有密度均匀、轻中度强化的腋窝肿大淋巴结。在临床工作中,当乳腺肿块的影像学表现具有上述特点时,应考虑PBL的可能,并提醒临床尽早对乳腺肿块行穿刺或局部切除活检以明确病理,减少误诊。X线及CT检查可以准确显示肿瘤累及的范围以及腋窝淋巴结肿大情况,有利于肿瘤分期,从而为临床制定恰当的治疗方案提供客观依据。

### 参考文献:

- [1] Caon J,Elain S,Jason H,et al. Treatment and outcomes of primary breast lymphom [J].Cin Breast Cancer,2012,12(5):412–415.
- [2] Wiseman C,Liao KT . Primary lymphoma of the breast[J]. Cancer,1972,29(2):1705–1712.
- [3] Avenia N,Sanguinetti A,Cirocchi R,et al. Primary breast lymphomas: a multi-centric experience [J].World J Surg Oncol,2010,28(6):1477–1480.
- [4] Yang WT,Lane D,Lepetross HT,et al.Breast lymphoma: imaging findings of 32 tumors in 27 patients [J]. Radiology,2007,245(3):692–702.
- [5] Surov A,Holzhausen HJ,Wienke A,et al. Primary and secondary breast lymphoma: prevalence,clinical signs and radiological features[J]. Br J Radiol,2012,85(10):195–205.
- [6] Liberman L,Giess CS,Dershaw DD,et al.Non-Hodgkin lymphoma of the breast: imaging characteristics and correlation with histopathologic findings [J]. Radiology,1994,192(1):157–160.
- [7] Liu PF,Yin L,Liu Y,et al. Primary malignant lymphoma of the breast: imaging characteristics and correlation with histopathologic findings [J]. Chinese Journal of Radiology,2005,39(1):46–49. [刘佩芳,尹璐,牛昀,等.原发性乳腺淋巴瘤X线表现及与病理相关性探讨[J].中华放射学杂志,2005,39(1):46–49.]
- [8] Meerkotter D,Rubin G,Joske F,et al. Primary breast lymphoma: a rare entity[J].Radiology,2011,5(5):1–9.
- [9] Gan XL,Bai J. Mammography and CT imaging manifestation of breast NHL [J]. Journal of Medical Imaging,2012,22(8):1333–1335. [甘新莲,白静.乳腺非霍奇金淋巴瘤X线摄影及CT表现[J].医学影像学杂志,2012,22(8):1333–1335.]
- [10] Brustein S,Filippa DA,Kimmel M,et al. Malignant lymphoma of the breast: a study of 53 patients [J].Ann Surg,1987,205(2):144–150.
- [11] Sabate JM,Gomez A,Torrubia S,et al. Lymphoma of the breast: clinical and radiologic features with pathologic correlation in 28 patients[J]. Breast J,2002,8(5):294–304.
- [12] Yu ZH,Ku WJ,Tian L.The applied value of routine clinical imaging methods in diagnosis of breast cancer [J]. Translational Medicine Journal,2014,3(6):368–371.[余泽辉,库雯静,田磊.常用影像学方法在乳腺癌诊断中的应用价值[J].转化医学杂志,2014,3(6):368–371.]
- [13] Zhang L,Liao X,Xu WM,et al. Mammographic and ultrasound features of breast sarcoma [J]. Journal of Clinical Radiology,2013,32(6):793–797. [张玲,廖昕,徐维敏,等.乳腺肉瘤的X线和超声表现分析[J].临床放射学杂志,2013,32(6):793–797.]

## 郑重声明

### 本刊作者谨防商务网站虚假征稿

《肿瘤学杂志》官网网址为:<http://www.chinaoncology.cn> 请作者直接点击进入网页,注册并登录采编系统进行投稿。如有疑问请致电 0571-88122280,88122282,13758247950,13757142507 查询。本刊邮箱为 zlxzz04@126.com 不再接受邮件投稿,所有稿件均通过采编系统管理,作者可通过采编系统查阅稿件审理进展。通过百度、谷歌等搜索后出现的注有《肿瘤学杂志》字样的代理征稿等相关信息,本刊均未同其签订过委托、授权或合作协议,敬请作者谨防上当!